

剪切波弹性成像技术对乳腺钙化肿块的诊断价值

张文欣,张含祺,李浴,郭艺旋,郑慧

(安徽医科大学第一附属医院超声科,安徽 合肥 230022)

摘要:目的 探讨剪切波弹性成像技术(SWE)对伴有钙化的乳腺肿块的诊断价值。**方法** 收集 2020 年 1 月–2022 年 2 月在我院收治的 201 例女性患者临床资料,共 205 个乳腺肿块。纳入伴有钙化且 BI-RADS 分类结果为 4a 及以上的乳腺肿块 193 个,其中良性 110 个,恶性 83 个。使用 SWE 技术比较最大弹性值(E_{max})和平均弹性值(E_{mean})在良恶性组中的差异,分析 SWE 的诊断效能。**结果** 恶性组的 E_{max} 和 E_{mean} 值高于良性组,差异有统计学意义($P<0.01$); E_{max} 和 E_{mean} 两个指标具有较高的特异度和阳性预测值,分别为 90.91%、87.01% 及 93.64%、90.00%。 E_{max} 和 E_{mean} 的 AUC 值分别为 0.92(0.89~0.96) 和 0.91(0.87~0.95),两者具有良好且相似的诊断效能。**结论** SWE 对所有伴钙化的乳腺肿块具有良好的诊断效能, E_{max} 与 E_{mean} 两弹性指标的特异度均较高,在保证灵敏度的同时,其特异度的提高有利于减少对可疑结节的穿刺活检。

关键词:剪切波弹性成像;钙化;乳腺肿块;超声

中图分类号:R445.1;R737.9

文献标识码:A

DOI:10.3969/j.issn.1006-1959.2023.10.036

文章编号:1006-1959(2023)10-0161-04

Diagnostic Value of Shear Wave Elastography in Breast Calcified Masses

ZHANG Wen-xi,ZHANG Han-qi,LI Yu,Guo Yi-xuan,ZHENG Hui

(Department of Ultrasound,the First Affiliated of Anhui Medical University,Hefei 230022,Anhui,China)

Abstract: Objective To investigate the diagnostic value of shear wave elastography (SWE) in breast masses with calcification.**Methods** The clinical data of 201 female patients admitted to our hospital from January 2020 to February 2022 were collected, with a total of 205 breast masses. A total of 193 breast masses with calcification and BI-RADS classification results of 4a and above were included, including 110 benign and 83 malignant. The SWE technique was used to compare the difference between the maximum elasticity value (E_{max}) and the average elasticity value (E_{mean}) in the benign and malignant groups, and to analyze the diagnostic efficacy of SWE.**Results** The E_{max} and E_{mean} values of the malignant group were higher than those of the benign group, and the difference was statistically significant ($P<0.01$). E_{max} and E_{mean} had higher specificity and positive predictive value, which were 90.91%, 87.01% and 93.64%, 90.00%, respectively. The AUC values of E_{max} and E_{mean} were 0.92 (0.89~0.96) and 0.91 (0.87~0.95), respectively, with good and similar diagnostic efficacy.**Conclusion** SWE has good diagnostic efficacy for all breast masses with calcification. The specificity of E_{max} and E_{mean} elasticity indexes is high. While ensuring the sensitivity, the improvement of its specificity is conducive to reducing the biopsy of suspicious nodules.

Key words:Shear wave elastography;Calcification;Breast mass;Ultrasound

乳腺癌(breast cancer)的发病率在女性恶性肿瘤中位居首位,早期诊断和治疗有利于提高患者的预后^[1]。超声检查和乳腺 X 线检查是鉴别乳腺癌的常用方法。钙化在乳腺肿块中十分常见,是由多种原因引起的矿物质沉积,通常良性和恶性乳腺肿块中都存在钙化^[2]。乳腺 X 线检查虽然对钙化敏感,但由于亚洲女性的乳腺组织以致密型为主,降低了在这种致密型乳腺中诊断疾病的能力^[3,4]。超声可以有效分辨钙化,钙化是恶性病变的重要影像学特征之一^[5]。依据钙化的形态及分布将其分为良性钙化与可疑钙化,但有时难以准确区分。SWE 技术在鉴别

乳腺肿块中良好的诊断价值已有多个研究证实^[6,7]。钙化会影响组织的弹性值,使其硬度增高^[8],SWE 能有效地鉴别乳腺肿块的良恶性,但 SWE 对伴钙化的乳腺肿块诊断价值的研究较少。本研究旨在分析在所有伴钙化的乳腺肿块中,SWE 是否仍具有良好的诊断效能。

1 资料与方法

1.1 一般资料 收集 2020 年 1 月–2022 年 2 月在安徽医科大学第一附属医院收治的 201 例女性患者,共 205 个乳腺肿块。排除有乳腺癌病史、乳腺手术史、乳腺瘢痕组织、怀孕或哺乳期的患者,共纳入 193 例患者共 193 个肿块。患者年龄 22~81 岁,结节最大径 3~32 mm。所有入组患者术前均已完善常规超声和 SWE 检查,病变均进行粗针穿刺活检或手术检查以获得病理结果。

1.2 方法 采用 Supersonic Aixplorer 超声诊断仪,

作者简介:张文欣(1997.11-),女,安徽合肥人,硕士研究生,住院医师,主要从事超声医学诊断研究

通讯作者:郑慧(1962.11-),女,广东广州人,硕士,主任医师,主要从事影像医学与核医学方向的研究

L4-15线阵探头,配备SWE成像软件。使用二维超声检查全面扫查乳腺后,将探头轻轻放置在伴有可疑钙化的肿块上并启动SWE系统,当图像保持稳定时,获得该肿块的SWE图像,计算最大弹性值(E_{\max})和平均弹性值(E_{mean}),测量3次,选取图像质量最高的一张。

1.3 统计学方法 采用SPSS 26.0软件进行分析,经正态检验后,计量资料均满足非正态分布。计量资料采用 $[M(P_{25} \sim P_{75})]$ 表示,两组间比较采用Mann-Whitney U检验,计数资料使用 χ^2 检验, $P < 0.01$ 表示差异有统计学意义。绘制ROC曲线计算AUC值,使用Youden指数找出最佳截断值,计算参数的灵敏度、特异度、阳性预测值、阴性预测值。

2 结果

2.1 病理结果 193个乳腺肿块中,良性110个(56.99%),恶性83个(75.45%)。良性肿块包括纤维腺瘤40个(36.36%),腺病伴纤维腺瘤形成36个(32.73%),腺病17个(15.45%),导管内乳头状瘤11个(10.00%),炎性4个(3.64%),叶状肿瘤2个(1.82%)。恶性肿块包括:浸润性导管癌68个(81.93%),导管原位癌10个(12.05%),浸润性小叶

癌3个(3.61%),乳头状癌1个(1.20%),梭形细胞恶性肿瘤1个(1.20%)。

2.2 E_{\max} 参数对伴钙化乳腺肿块的诊断价值 对所有伴钙化的乳腺肿块中,恶性肿块 E_{\max} 值为209.20(108.90~291.80)kPa,高于良性肿块的45.65(30.40~89.30)kPa,差异有统计学意义($Z = -9.906, P < 0.01$),见图1。

2.3 E_{mean} 参数对伴钙化乳腺肿块的诊断价值 对于 E_{mean} 参数,恶性伴钙化肿块的值为71.00(51.10~88.20)kPa,也高于良性伴钙化肿块的21.10(14.65~35.08)kPa,差异有统计学意义($Z = -9.796, P < 0.01$),见图2。

2.4 两个弹性指标间诊断效能的比较 根据Youden指数找出 E_{\max} 和 E_{mean} 最佳Cut-off值分别为101.10、50.60 kPa。 E_{\max} 和 E_{mean} 指标的AUC值分别为0.92和0.91,两者都具有良好且相似的诊断效能。对于钙化肿块, E_{\max} 和 E_{mean} 两个定量指标在保证良好灵敏度的同时,都表现出较高的特异度,分别为90.91%、93.64%。同时,相比阴性预测值,两个定量指标均具有较高的阳性预测值,分别为87.01%、90.00%,见表1、图3。

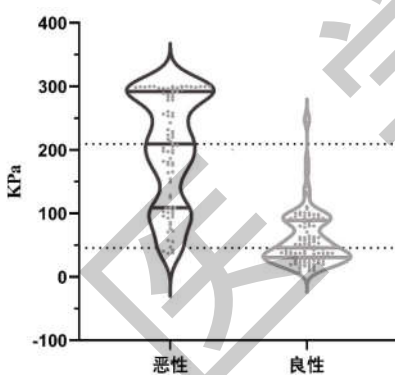


图1 E_{\max} 在良恶性患者间的差异

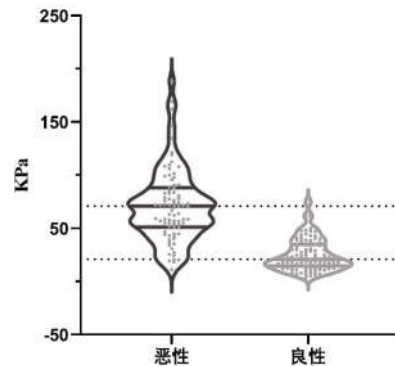


图2 E_{mean} 在良恶性组间的差异

表1 两SWE参数在伴钙化乳腺肿块中的诊断效能

参数	截断值(kPa)	Youden指数	灵敏度	特异度	准确率
E_{\max}	101.10	0.72	80.72%(67/83)	90.91%(100/110)	86.53%(167/193)
E_{mean}	50.60	0.70	75.90%(63/83)	93.64%(103/110)	86.01%(166/193)
参数	阳性预测值		阴性预测值		AUC(95%CI)
E_{\max}	87.01%(67/77)		86.21%(100/116)		0.92(0.89~0.96)
E_{mean}	90.00%(63/70)		83.74%(103/123)		0.91(0.87~0.95)

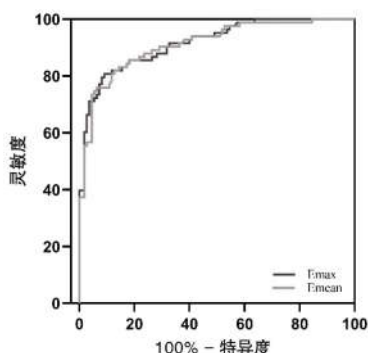


图3 两弹性参数的ROC曲线

3 讨论

剪切波弹性成像是通过测量剪切波的传播速度来计算组织的弹性值，弹性用杨氏模量 E 表示，其计算公式为 $E=3\rho c^2$ (ρ :组织密度, c :剪切波速)^[9]。癌组织常发生血管生成、炎症反应、高水平的胶原成分和坏死等，这些都与组织的高硬度有关，因此乳腺癌组织比正常乳腺组织坚硬，这使得 SWE 技术可以通过测量组织硬度评估乳腺病变的性质^[10,11]。SWE 有多种指标，其中以 E_{max} 和 E_{mean} 这两个参数最为广泛使用^[12-15]。目前最常使用的 E_{max} 值为 80 kPa，其特异度为 69.38%， E_{mean} 值为 50 kPa，特异度为 83.00%^[15,16]。本研究中恶性肿块的 E_{max} 与 E_{mean} 高于良性肿块，在伴有钙化的肿块中，恶性肿块弹性值同样高于良性肿块，钙化虽然对弹性值有影响，由于良恶性肿块的钙化成分不同，使得两者的弹性值具有显著差异。 E_{max} 与 E_{mean} 的 AUC 值分别为 0.92、0.91，应用 SWE 检查全部伴钙化的乳腺肿块，可以有效鉴别其良恶性^[15-17]。 E_{max} 的灵敏度、特异度分别为 80.72%、90.91%， E_{mean} 的灵敏度、特异度分别为 75.90%、93.64%。SWE 诊断的特异度有明显提高，而灵敏度改善不明显。本研究使用 E_{max} 为 101.1 kPa 为临界值时，有 16 个恶性肿块（浸润性导管癌 11 个，导管原位癌 5 个）被误诊为良性，在这 11 个浸润性导管癌中，最大径均不超过 20 mm，这与文献报道中小病灶的弹性硬度易被低估，以及导管原位癌相较于浸润性乳腺癌的假阴性率高一致^[18,19]。此外，有 10 个良性肿块被判为恶性，其中纤维腺瘤 6 个，纤维腺瘤伴钙化的情况十分常见，但其钙化为簇状或粗大时，也可能影响 SWE 的诊断效能，继而产生假阳性结果。

恶性伴钙化肿块的 E_{max} 为 209.20 (108.90~291.80) kPa，高于既往报道中的 179 (136~180) kPa，而最佳 Cutoff 值为 101.1 kPa，也高于 Berg WA 等^[15]

推荐的 80 kPa，这表明钙化会导致更高的弹性值，继而使 E_{max} 截断值偏高。 E_{mean} 最佳 Cutoff 值为 50.6 kPa，这与 Evans A 等^[16]报道的基本相同，但良性伴钙化肿块的中值为 21.10 (14.65~35.08) kPa，低于 Choi SH 等^[20]的报道，两组研究中良性肿块钙化的分布与形态不同以及使用的 ROI 大小不同，对于弹性值影响程度不一，可能导致两组研究的平均弹性值差异较大。此外，肿块的最大弹性值是对感兴趣区域中最硬的部分进行测量，而部分钙化在 SWE 图像中常表现为较硬的红色，因此考虑钙化对于最大弹性值的影响较平均弹性值大。

综上所述，在超声检查中，钙化是 BI-RADS 分类系统中重要的考虑因素之一，对于可疑钙化的结节常需要穿刺活检等处理，SWE 技术的应用，提高了对恶性伴钙化肿块诊断的特异度，避免了不必要的活检。

参考文献：

- [1]Bray F,Ferlay J,Soerjomataram I.Global cancer statistics 2018: GLOBOCAN estimates of incidence and mortality worldwide for 36 cancers in 185 countries[J].CA Cancer J Clin,2018,68(6): 394–424.
- [2]Bonfiglio R,Granaglia A,Giocondo R.Molecular Aspects and Prognostic Significance of Microcalcifications in Human Pathology: A Narrative Review[J].Int J Mol Sci,2020,22(1):120.
- [3]Li T,Tang L,Gandomkar Z.Characteristics of Mammographic Breast Density and Associated Factors for Chinese Women: Results from an Automated Measurement [J].J Oncol,2019,2019: 4910854.
- [4]Choi JS,Han BK,Ko EY.Comparison of synthetic and digital mammography with digital breast tomosynthesis or alone for the detection and classification of microcalcifications [J].Eur Radiol, 2019,29(1):319–329.
- [5]Spak DA,Plaxco JS,Santiago L.BI-RADS® fifth edition:A summary of changes[J].Diagn Interv Imaging,2017,98(3):179–190.
- [6]Cantisani V,David E,Barr RG.US –Elastography for Breast Lesion Characterization: Prospective Comparison of US BI-RADS, Strain Elastography and Shear wave Elastography[J].Ultraschall Med,2021,42(5):533–540.
- [7]Mesurolle B,El Khoury M,Chamings F,et al.Breast sonoelastography: Now and in the future [J].Diagn Interv Imaging, 2019,100(10):567–577.
- [8]Chamming's F,Mesurolle B,Antonescu R.Value of Shear Wave Elastography for the Differentiation of Benign and Malignant Microcalcifications of the Breast [J].AJR Am J

- [Roentgenol,2019,213(2):W85–W92.]
- [9]Sigrist RMS,Liau J,Kaffas AE.Ultrasound Elastography: Review of Techniques and Clinical Applications [J].Theranostics,2017,7(5):1303–1329.
- [10]Song EJ,Sohn YM,Seo M.Tumor stiffness measured by quantitative and qualitative shear wave elastography of breast cancer[J].Br J Radiol,2018,91(1086):20170830.
- [11]Yang H,Xu Y,Zhao Y.The role of tissue elasticity in the differential diagnosis of benign and malignant breast lesions using shear wave elastography[J].BMC Cancer,2020,20(1):930.
- [12]Kim H,Lee J,Kang BJ.What shear wave elastography parameter best differentiates breast cancer and predicts its histologic aggressiveness? [J].Ultrasonography,2021,40(2):265–273.
- [13]Suvannarerg V,Chitchumnong P,Apiwat W.Diagnostic performance of qualitative and quantitative shear wave elastography in differentiating malignant from benign breast masses, and association with the histological prognostic factors[J].Quant Imaging Med Surg,2019,9(3):386–398.
- [14]Hari S,Paul SB,Vidyasagar R.Breast mass characterization using shear wave elastography and ultrasound [J].Diagn Interv Imaging,2018,99(11):699–707.
- [15]Berg WA,Cosgrove DO,Doré CJ,BE1 Investigators. Shear-wave elastography improves the specificity of breast US: the BE1 multinational study of 939 masses[J].Radiology,2012,262(2):435–449.
- [16]Evans A,Whelahan P,Thomson K.Quantitative shear wave ultrasound elastography: initial experience in solid breast masses [J].Breast Cancer Res,2010,12(6):R104.
- [17]Gu J,Polley EC,Ternifi R.Individualized–thresholding Shear Wave Elastography combined with clinical factors improves specificity in discriminating breast masses[J].Breast,2020,54:248–255.
- [18]Zou H,Xue Y,Ou Y.Factors Affecting the Quality of Breast Quasistatic Ultrasound Elastograms[J].J Ultrasound Med,2018,37(7):1701–1712.
- [19]Park SY,Choi JS,Han BK.Shear wave elastography in the diagnosis of breast non–mass lesions: factors associated with false negative and false positive results [J].Eur Radiol,2017,27 (9):3788–3798.
- [20]Choi SH,Ko EY,Han BK.Effect of Calcifications on Shear-Wave Elastography in Evaluating Breast Lesions [J].Ultrasound Med Biol,2021,47(1):95–103.

收稿日期:2022-06-04;修回日期:2022-07-20

编辑/肖婷婷